

## 전기용량법에 의한 자기이방성 측정장치

전북대학교 물리학과  
이연숙\*, 신용돌, 문기원, 이용호

한국과학기술연구원 금속연구부  
노태환, 김희중, 강일구

A Measurement System for Magnetic Anisotropy with Capacitance Method

Dept. of Physics, Jeonbuk Nat'l University  
Y.S.Lee, Y.D.Shin, K.W.Moon, Y.H.Lee

Division of Metals, Korea Institute of Science and Technology  
T.H.Noh, H.J.Kim, I.K.Kang

## 1. 서론

자성재료의 중요기초특성의 하나인 자기이방성은 일반적으로 Penoyer가 고안한 torque magnetometer에 의하고 있으나, 진동과 side force의 약점이 있으며 기계적 구조가 복잡하다. 이 논문에서는 토오크 센서로서 감도가 크며 구조가 간단하고 side force에 강한 전기용량 변환기를 사용한 이방성 측정장치에 관한 실험결과를 기술한다.

## 2. 실험 원리 및 방법

그림 1은 본 장치의 개략도이다. S는 이방성을 측정하려는 시료로서 원판 또는 구형이다. S의 축에 수직한 균일자기장 H가 S에 인가되면, S에는 이방성에 의한 토오크  $\tau$ 가 작용한다. 시료의 부피를  $v$ , 이방성에너지 밀도를  $E_A$ , H와 시료의 자화용이축 사이의 각도를  $\theta$ 라 하면  $\tau = -v \cdot \partial E_A / \partial \theta$ 이다. 그림2에서 S의 지지축에는 평행축전기의 가동극판 N이 연결되며, 축전기의 고정극판 P사이의 전기용량 C가  $\tau$ 에 의하여 변화한다. N에 연결된 탄성판의 탄성계수를  $e$ ,  $\tau$ 에 의한 S의 회전각을  $\phi$ 라 하면 탄성복원력  $\tau_e$ 는  $\tau_e = -e\phi$ 이며 이것이  $\tau$ 와 비기므로  $\tau_e = -\tau$  즉,  $v \partial E_A / \partial \theta = -e\phi$ 이다. H=0 때의 N와 P사이의 전기용량  $C_0$ 는 극판면적을 A, 진공의 유전률을  $\epsilon_0$ , 간격을  $l_0$ 라 하면  $C_0 = \epsilon_0 A / l_0$ 이다.  $\tau$ 에 의해  $l_0$ 는  $l_0 + \Delta l$ 로 변화하므로 그때의 용량의 변화  $\Delta C$ 는  $\Delta C = -C_0 \Delta l / l_0$ 이다. 또  $\Delta l = G\phi$  (G는 장치상수)로 두면  $\Delta C = -C_0 G \phi / l_0$ 가 된다.  $\Delta C$ 는 매우 작은 미소량이며 이것을 검출하는 장치가 transformer-ratio-arm bridge B이다. 1)

B의 출력 V는  $V = nV_0 \cdot \Delta C / C$ 이다. (n,  $V_0$ , C는 문헌1 참조). 이상의 관계식으로부터 구하려는 토오크  $\tau$ 는  $\tau = (-e l_0 C / n \cdot V_0 \cdot C_0 \cdot G) V \equiv QV$  (Q는 장치 전체의 시스템 상수)에 의하여 구할 수 있으며, V는 lock in amp로 측정하여 XY 기록계에 기록된다. e,  $l_0$ , G등의 상수는 본실험에서는 개개의 값을 측정하는 대신에, 표준이 되는 Ni선의 일축이방성 토오크를 측정하여 장치 전체상수 Q를 구하였다.

### 3. 실험결과 및 고찰

토오크의 표준으로서 직경 0.127mm, 길이 5.8mm의 Ni선의 일축이방성을 이용하였다. 이 Ni선의  $\tau$ 대  $\theta$  곡선은 그림 3과 같다. Ni선의 일축이방성 에너지 밀도  $U$ 는  $U=I_s^2 v[(N_x-N_y) \cos^2\theta+N_y]/2\mu_0$ 이다. 여기서  $I_s$ 는 Ni의 포화자화,  $N_x, N_y$ 는 장축과 단축에 대한 반자기장 계수,  $\mu_0$ 는 진공의 투자율이다. Bozorth의 표에 의하여  $N_x=0.001, N_y=0.499$ 가 얻어지므로  $\tau \approx I_s^2 v \sin 2\theta/4\mu_0$ 가 된다.  $H$ 가 0.82T 이상에서 대체적으로 시료가 포화 된 것으로 보아, 이때의 진폭이  $\tau$ 의 최대치인  $I_s^2 v/4\mu_0$ 가 된다. 이방성 측정의 한예로서, 3\* Si-Fe 단결정 (직경 3.2mm, 두께 0.25mm의 원판)의 (100)면에 대한 토오크 곡선은 그림 4와 같다. 0.36T 이상에서 거의 포화되었으며  $\sin 4\theta$ 모양이다. 이것은 입방정형의 (100)면 내에서  $I_s$ 가 회전할때,  $E_A \approx K_1(1-\cos 4\theta)/8$ , 따라서  $\tau = vK_1 \sin 4\theta/2$ 가 성립하기 때문이다. 그림3과 그림4의 진폭의 비에 의하여 3\* Si-Fe의  $K_1$ 은  $33 \times 10^3 \text{ J/m}^3$ 로 계산된다. 몇몇의 기타시료에 대한 결과도 같이 보고한다.

### 4. 결론

매우 간단한 구조이면서도 고감도의 이방성측정기가 완성되었고, 그 결과는 기준치와 좋은 일치를 보였다.

### 5. 참고문헌

- ① 이용호 : 응용물리 2, 437 (1989) (한국물리학회지)

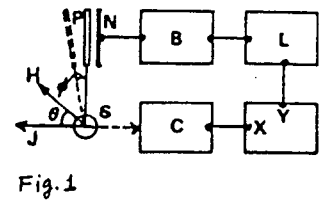


Fig. 1

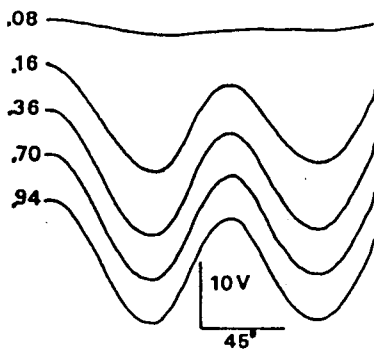


Fig. 4 The torque curves for (100)E sample.

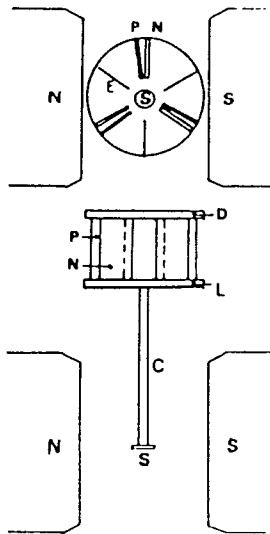


Fig. 2

Fig. 2 The torque sensor by capacitance method

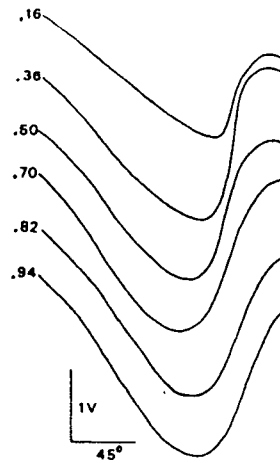


Fig. 3 The torque curves of pure Ni wire for calibration. The numbers at the left of the curves represent the field intensity in tesla.